

京都大学 工学部 正員 島 哲郎

同 学生員 ○太田秀樹

1. 一般式の説明

飽和した粘土を排水せん断に伴う体積変化と非排水せん断に伴う開き水圧の発生と表裏の関係にある。等方圧力の微小変化による粘土の微小体積変化量は $e \sim \log \sigma'_m$ が直線的な関係にあることから、

$$\frac{dV}{V} = C(1-n) \frac{d\sigma'_m}{\sigma'_m} \quad (1)$$

である。正規圧密粘土では非排水せん断中に σ'_m が減少してゆくため C は swelling のときの $e \sim \log \sigma'_m$ の傾き C_s に相当する係数で、 n は開き水圧率である。正規圧密粘土のせん断変形に伴う体積変化（ダイレイタシー）に関しては、柴田¹⁾、輕井・栗原²⁾ が与えた関係式がある。それは微分すると二点とよって、せん断応力の微小増加による微小体積減少が、

$$\frac{dV}{V} = D \frac{d\tau_{act}}{\sigma'_m} - D \frac{\tau_{act} - \tau_{nd}}{\sigma'_m} \frac{d\sigma'_m}{\sigma'_m} \quad (2)$$

である。ここで D は圧密圧力すなわち粘土の含水比に対する関係の定数であり、 τ_{nd} は τ_{act} よりも τ_{act} よりも τ_{nd} よりも τ_{act} がおこらば」という限界を示し、 τ_{nd}/σ'_{mi} (σ'_{mi} は正規圧密粘土がせん断される前における平均主応力である。) は σ'_{mi} に關係しない一定値である。したがって正規圧密粘土を非排水状態でせん断した場合に有効応力が満足されればならぬ関係式は、(1), (2) 式を加えて $dV/V = 0$ といひたもので近似的に次のように与えられる。

$$\left(\frac{V_0}{\mu} - \frac{\tau_{act} - \tau_{nd}}{\sigma'_m} \right) d\sigma'_m + d\tau_{act} = 0 \quad (3)$$

ここで係数 μ は $\mu = \sqrt{D}/C(1-n)$ で与えられ、非排水せん断中には開き水圧率が変化して τ_{act} の一定値を保つ。主応力の間に $\sigma'_1 = \sigma'_2 \geq \sigma'_3$ なる關係があるとし、中間主応力 $\sigma'_2 = N = (\sigma'_1 - \sigma'_3)/(\sigma'_1 - \sigma'_3)$ とする規定とするが、軸方向応力 σ_a と軸対称圧縮応力 σ_c とを通常の三軸試験に用いる時は、compression が $\sigma'_1 = \sigma'_2$; $\sigma'_3 = \sigma'_c$, $N = 0$ で、また extension が $\sigma'_1 = \sigma'_c$, $\sigma'_3 = \sigma'_a$, $N = 1$ で示される。せん断中に N が変化せず一定値を保つとレマ、(3)式を σ'_1 , σ'_3 に関する微分方程式と書き換えると、その特異点 $(\sigma'_0, \sigma'_{30})$ は、

$$\sigma'_{30} = \frac{1}{3}(2-N)\sigma_{nd}, \quad \sigma'_{30} = -\frac{1}{3}(1+N)\sigma_{nd} \quad (4)$$

である。ここで $\sigma_{nd} = \frac{2}{\sqrt{2}} \frac{1}{\sqrt{1-N+N^2}} \tau_{nd}$ である。 σ'_1 , σ'_3 に関する式を $S_1 = \sigma'_1 - \sigma'_{30}$, $S_3 = \sigma'_3 - \sigma'_{30}$ とする変数で書き換え、さらには $k = S_3/S_1$ と置く。非排水せん断で開き水圧が発生するまでの瞬間の応力状態をしだす添字で示すと、 $S_{1L} = S_{3L} = \sigma'_{mi}$, $k=1$ なる關係が得られる。これを初期条件として、微分方程式を解くと、

$$\frac{S_1}{\sigma'_{mi}} = \frac{3}{(2-N)k+(1+N)} \exp \left\{ -\mu \frac{\sqrt{1-N+N^2}(1-k)}{(2-N)k+(1+N)} \right\}$$

$$\frac{S_2}{\sigma_{0\text{ml}}} = \frac{\beta k}{(2-N)k + (1+N)} \exp \left\{ -\mu \frac{\sqrt{1-N+N^2} (1-k)}{(2-N)k + (1+N)} \right\} \quad (5)$$

となる。

2. $\sigma_{nd}=0$ の場合

$\sigma_{nd}=0$ の場合、特に点付の一つの線上で原点とガリ、 $k=\sigma'_3/\sigma'_1$ である。等方圧密された粘土上でその緩速せん断した場合には σ_{nd} が 0 に平行な傾向がある。レバガーマ正規圧密粘土のせん断特性の最も基本的な性質を示すものであると考えられる。 $N=0$ は通常の三軸圧縮試験に相当する応力状態を表すが、その時のストレスパスが μ 値によってどのようすを示すかを示したのが図-1である。

$\sigma'/\sigma_{0\text{ml}}$

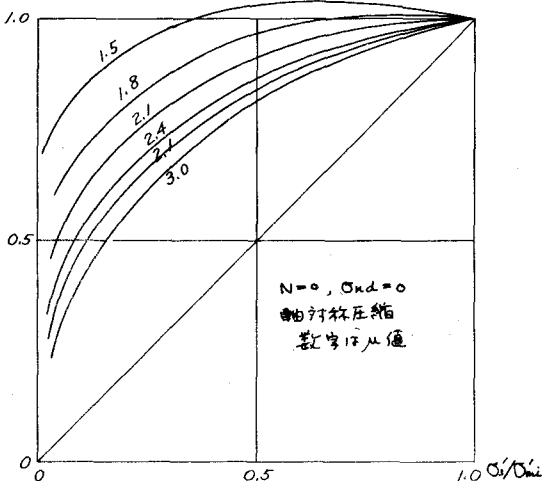


図-1 軸対称圧縮試験における理論曲線

3. $\sigma_{nd}>0$ の場合

$\sigma'_1-\sigma'_3 \geq \sigma_{nd}>0$ の場合のストレスパスは $\sigma_{nd}=0$ のストレスパスを σ' 方向に $(2-N)\sigma_{nd}/3\sigma_{0\text{ml}}$ 、 σ'_3 方向に $-(1+N)\sigma_{nd}/3\sigma_{0\text{ml}}$ だけ平行移動せしむることによって得られる。等方圧密された粘土は圧密完了時にせん断応力を受けたばかり。このように非排水せん断すると $\sigma'_1-\sigma'_3$ が σ_{nd} を二つまではナレイタシードを起さうとしていたの間隔水圧は発生せず、 $\sigma'_{0\text{ml}}$ は $\sigma_{0\text{ml}}$ から変化しない。異方圧密された粘土は圧密完了時に σ_{nd} 、すなはち $\sigma'_1-\sigma'_3$ のせん断応力をうけたおり、この主応力差はその後の非排水せん断中の間隔水圧の発生を防ぐ。このようが異方圧密粘土の場合にもその緩速せん断する場合にはせん断初期から顯著な間隔水圧の発生がみられると思われるが、通常行かれることは程度のせん断はせりではせりながらの主応力差が加えられると間隔水圧の発生量は少ない。しかし主応力差がある σ_{nd} より大きくなると急激な間隔水圧が発生する。異方圧密された粘土に対するこのような考察は今後より豊富なデータをもって再検討すべきであると思われるが、現在の段階では充分な近似度を持つと考えられる。

4. 中間主応力の影響

$\sigma_{nd}=0$ 、 $\mu=1.5$ の場合のストレスパスに対する N の影響を示したのが図-2である。 μ が大きくなり $N=1$ (= compression, $N=0$) よりも extension ($N=1$) の場合の方が同じ $(\sigma'_1-\sigma'_3)$ に対する間隔水圧の発生が大きく、またストレスパスにおける中間主応力の影響も大きい。多くの土構造物は二次元問題として取り扱われるが、また実際にも平面ひずみ状態で荷重に打って抵抗するものが多いと考えられる。底部・原田によれば、せん断中平面ひずみ状態を維持するためには N が変化する範囲は、0.2-0.4 である。図-2のストレスパスはせん断中 N が変化しながら $\sigma'_1-\sigma'_3$ を条件にして得られたもので

あるが、 $N = 0.2 \sim 0.4$ に対応する範囲は非常にせまい。図-3はいろいろの μ に対する $N = 0.2 \sim 0.4$ の範囲を示す。レバゲット平面ひずみ状態でのストレスパスモニタの範囲から大きくはずれることはないと思われる。整部・原田によると得られたストレスパスが図-2と同様の傾向を持つてゐることから以上のようは近似が可能であるかと思われる。

また、せん断中の N の変化を許して、 $\sigma_{ct} \sim \sigma'_{mi}$ 関係を求めてみる。④式から $\tau = \sigma_{ct} - \sigma_{nd} = 2\mu$ とおき、初期条件として $\sigma'_{mi} = \sigma'_{mi}^0$ で $\tau = 0$ を用いて解くと、

$$\frac{\tau}{\sigma'_{mi}} = -\frac{4\mu}{\mu} \frac{\sigma'_{mi}}{\sigma'_{mi}^0} \log_e \frac{\sigma'_{mi}}{\sigma'_{mi}^0} \quad (6)$$

が得られる。すなわち σ'_{mi} が同じであれば同一の μ に対するストレスパスは、 $\sigma_{ct} - \sigma'_{mi}$ 線上では σ_{nd}/σ'_{mi} が平行移動することによって σ_{nd} にかかるず同一のカーブに沿り、中間主応力比 N のいかんに左右されない。したがってまわりの緩速せん断され、 $\sigma_{nd} = 0$ となる場合に付し、 $\sigma_{ct} - \sigma'_{mi}$ 線上におけるストレスパスは N と無関係に与えられる。

5. 粘土の骨組構造と μ 値

μ 値は膨脹指數 C_s に反比例するため、P.I.が高く綿毛構造を持つて粒土ほど μ 値が小さく、逆に粒度が大きくなると μ 値が大きくなることを示してある。このことは高い圧密圧力で圧密された粘土の μ 値がさうでないものと較べていくらか大きいことを示してある。このことは高い圧密圧力で圧密された粘土の骨組構造が変形に対して安定なものとなり、せん断に対するもより著しいダイレイションシーを起すことを意味している。図-4はHenkel and Sowa⁴⁾により得られたストレスパスと理論曲線との比較である。破壊直近のストレスパスが急に上昇していくのは圧密前の粒土ペーストの初期含水比が低かったためで、逆に較べてすっと高含水比にしておけばこのどうが乱れはみられないと思われる。Ko圧密された粘土は等方圧密粒土に較べて粒土粒子が互に平行に配列し易く、変形に対して安定でダイレイ

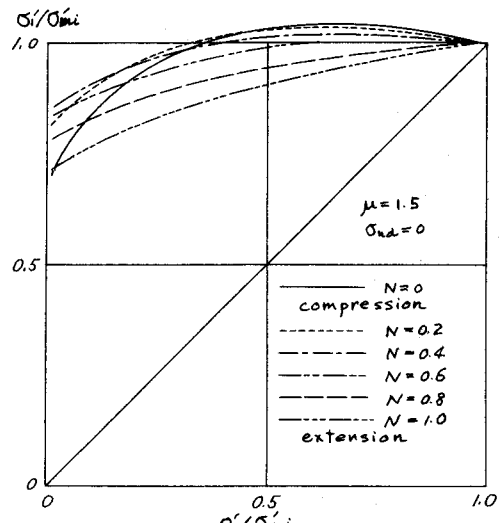


図-2 中間主応力の影響

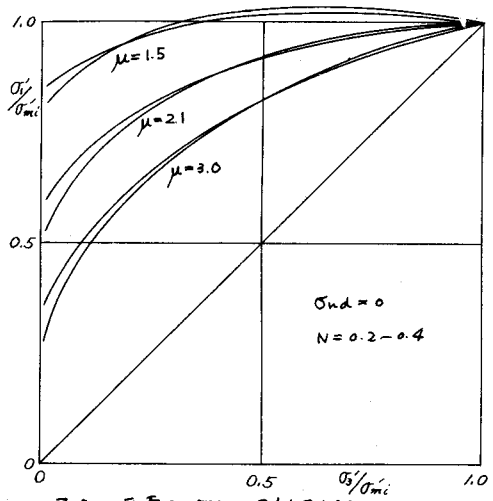


図-3 平面ひずみのストレスパス

ンシーガ層しいと見えられる。 K_0 圧密された粘土の μ 値がかなり大きいことはこの通り推測を裏づけるものであるといえよう。すなはち等方圧密粘土でも σ_{nd} が大きいものは $\sigma_{nd} = 0$ のものに較べて μ 値が大きい。これははやりせん断にすこせん断初期にダイレクトンシーア起つてそれがさながらした粘土が $\sigma'_1 - \sigma'_2 \geq \sigma_{nd}$ とつて密接に間がき水压を発生するので、見掛け上大きい μ 値となると考えられる。

6. 破壊に関する考察

式を σ_m'/σ_{mi}' に関して微分し、 0 を立くこと $=$ つて $(\sigma_{oct} - \sigma_{nd})_{max}$ の位置を求めて、 $\sigma_m'/\sigma_{mi}' = 1/e$ とき $=$

$$\left(\frac{\sigma_{oct} - \sigma_{nd}}{\sigma_{mi}'} \right)_{max} = \frac{\sqrt{e}}{\mu} \quad (7)$$

となる。この場合、已是自然状態の底である σ' 、 $(\sigma_{oct})_{max}$ の位置は μ の値いかんにかからず σ_m'/σ_{mi}' が一定値のときとなる。 μ が小さな場合には二軸に相当する μ は非常に大きな値となり、理実のストレスパスがまことにびくつとは見えられず、 μ が大きい場合には(7)式によると $(\sigma_{oct} - \sigma_{nd})_{max}$ に到達する可能性がある。このように μ が大きい正規圧密粘土のピーカ强度は切式、すなはち von Mises 条の破壊応力条件に従がうことになる。

7. 一面せん断機による等体積せん断

L.L. 51.5%、P.L. 31.2% のシルト質粘土を一面せん断機で用ひ 0.05 mm/min の速さで等体積せん断した結果が図-5である。図中の理論線は $N=0$ として与えられた応力状態を、その時まで σ' が最もモビリ化されている面上でのて、 σ' に変換して得られるストレスパスである。一面せん断中の試料にかかる主応力を問うてこのようない推定は問題があるものの、特に μ の値のもののが信頼性が高いときは、これらのストレスパスが $\sigma_{nd}=0$ とした理論曲線に近く一致するのほ事実である。

以上の議論は(3)式から機械的に導いたものであるが、より多くの実験的事実が得られれば再検討されるべきものであろう。しかし現段階ではせん断特性の近似的表現として有用であると思われる。

参考文献 1) 紫田衛：粘土のダイラタンシーアについて、東大防災年報第6号 S-38.7
2) 錦野重義：深り込しえ工のダイラタンシーアせん断強度について、土木文庫叢書 135号

3) 錦野重義：深り込しえ工の平面変形条件について、同上 147

4) Henkel and Sawa: The Influence of Stress History on Stress Paths in Undrained Triaxial Tests on Clay, Laboratory Shear Testing of Soils, 1963, ASTM Special Technical Pub. No. 26/

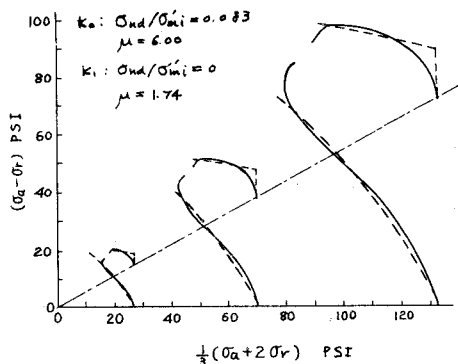


図-4 Henkel and Sawaによるストレスパス

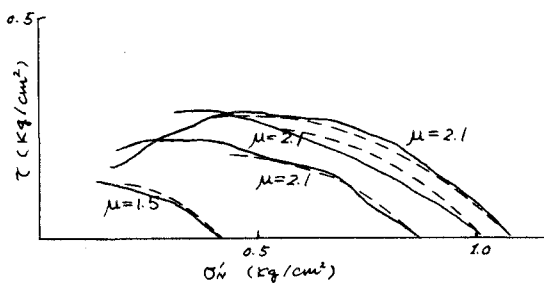


図-5 一面せん断によるストレスパス